

تأثیر عملیات حرارتی انحلال بر رفتار رسوبات γ' و میکروسختی در نواحی مغز دندریت و بین دندریت سوپرآلیاژ ریختگی GTD-111*

سارا جعفرپور^(۱) علیرضا مشرقی^(۲) مسعود مصلاهی پور^(۳) مهدی کلانتر^(۴)

چکیده

در این تحقیق روند انحلال رسوبات γ' در سوپرآلیاژ ریختگی GTD-111 بررسی شد. بدین منظور، عملیات انحلال در محدوده دمای 1100°C تا 1230°C در زمان مختلف، با هدف تعیین اثر دما و زمان انحلال بر رفتار انحلال رسوبات γ' در نواحی بین دندریت و مغز دندریت بر روی نمونه‌های تهیه شده از شمش یادشده انجام شد. ریزساختار نمونه‌ها با میکروسکوپ الکترونی SEM و FESEM مطالعه شد. بررسی‌های کمی تصاویر میکروسکوپی نشان داد انحلال کامل رسوبات γ' اولیه در شرایط $1230^{\circ}\text{C}/40\text{min}$ در نواحی بین دندریت و در شرایط $1180^{\circ}\text{C}/120\text{min}$ در مغز دندریت رخ داده است. بررسی میکروسختی نمونه‌ها نیز در ناحیه مغز دندریت و بین دندریت نشان داد که میکروسختی در این نواحی متناسب با افزایش دما تغییر نمی‌کند، بیشترین و کمترین مقدار سختی به ترتیب در دمای 1200°C و 1120°C در هر دو ناحیه به دست آمده است.

واژه های کلیدی سوپرآلیاژ پایه نیکل GTD-111، دمای انحلال، رسوبات γ' ، میکروسختی.

Influence of the solution heat treatment on the behavior of γ' precipitates and microhardness of dendrite core and inter-dendritic regions of cast superalloy GTD-111.

S. Jaffarpour A.R. Mashreghi M. Mosallae poor M. Kalantar

Abstract

In this research, the process of dissolution of γ' precipitates in GTD-111 casting superalloy was investigated. For this purpose, the dissolution operation was carried out at a temperature of 1100°C to 1230°C in 4 different times on samples prepared from the ingot with the aim of determining the effect of temperature and time on the behavior of the dissolution of the γ' precipitates in the dendrite core and inter-dendritic regions. The microstructure of the samples was studied using the SEM and FESEM electron microscopes. Quantitative studies of microscopic images showed that complete dissolution of the initial γ' precipitates occurred at $1230^{\circ}\text{C}/40\text{min}$ for dendrite core regions and $1180^{\circ}\text{C}/120\text{min}$ in the inter-dendritic regions. Investigating the micro-hardness of samples in the dendrite core and inter-dendritic regions of the specimens showed that the microhardness in these regions does not change with increasing temperature. Also the highest and lowest hardness was obtained at 1200°C and 1120°C in both regions respectively.

Key Words Superalloy Ni-base GTD-111, Solution Temperature, γ' Precipitate, Microhardness.

* تاریخ دریافت مقاله ۹۷/۴/۱۰ و تاریخ پذیرش آن ۹۸/۶/۱۳ می باشد.

(۱) کارشناسی ارشد، دانشکده مهندسی معدن و متالورژی، دانشگاه یزد.

(۲) نویسنده مسئول، دانشیار، دانشکده مهندسی معدن و متالورژی، دانشگاه یزد.

(۳) دانشیار، دانشکده مهندسی معدن و متالورژی، دانشگاه یزد.

(۴) دانشیار، دانشکده مهندسی معدن و متالورژی، دانشگاه یزد.

Email: amashreghi@yazd.ac.ir

DOI:10.22067/ma.v32i1.73854

مقدمه

کار در دمای بالا، در بسیاری از بخش‌های مهم صنعت از قبیل تولید و فراوری مواد، مهندسی شیمی، تولید برق، حمل‌ونقل و هوافضا اهمیتی ویژه دارد؛ بنابراین قابلیت انجام کار در دمای بالا یک عامل حیاتی در رقابت‌پذیری صنعتی است [1]. هنگامی که مقاومت درخور توجیهی در شرایط بارگذاری استاتیکی و دینامیکی در دمای بالا نیاز است، سوپرآلیاژهای پایه نیکل به‌عنوان مواد انتخابی برای این منظور از اهمیت زیادی برخوردار می‌شوند [2-4].

افزایش دمای کاری توربین‌های گازی به دلیل بهبود راندمان آن‌ها، استفاده از آلیاژهای مقاوم به حرارت را اجتناب‌ناپذیر کرده است. از جمله قطعاتی که در دمای بالا سرویس‌دهی می‌کنند، پره‌های توربین‌ها هستند که از جنس سوپرآلیاژهای پایه نیکل، نیکل آهن یا کبالت هستند. از جمله معروف‌ترین آلیاژهای پایه نیکل که برای ساخت پره‌های تک‌کریستال نیز استفاده می‌شود، سوپرآلیاژ GTD-111 است. این آلیاژ به‌وسیله رسوب فاز γ' با ترکیب $\text{Ni}_3(\text{Al}, \text{Ti})$ که یک فاز هم‌سیما در زمینه فاز گاما (γ) غنی از Ni است، رسوب سخت می‌شود. ریزساختار این آلیاژها شامل مجموعه‌ای از فازهای زمینه (γ)، فاز استحکام‌بخش گاماپرایم (γ')، کاربیدها و فاز یوتکتیک γ/γ' است که وجود هر یک از این فازها برای رسیدن به خواص مطلوب ضروری است [5-8]. استحکام سوپرآلیاژها به‌اندازه، شکل و کسر حجمی رسوب‌های γ' بستگی دارد. علاوه بر این موضوع انرژی کرنشی الاستیک بین رسوب و زمینه و همچنین نرخ جوانه‌زنی که تابع عواملی مانند دمای انحلال و سرعت سردشدن است، بر شکل و تعداد رسوب‌ها تأثیر می‌گذارد؛ بنابراین اطلاع از دمای انحلال و رسوب‌گذاری رسوب‌های γ' برای طراحی سیکل‌های عملیات حرارتی مناسب در شرایط مختلف ضروری است [9]. در این بین، ذرات فاز رسوبی برحسب اندازه، درصد حجمی و دمای تغییر شکل، ممکن است در اثر حرکت نابجایی‌ها برش بخورند یا به‌عنوان محل‌های جوانه‌زنی برای حلقه‌های اوروان (Orowan) عمل کنند و به همین علت ایجاد و توزیع یکنواختی از این فاز در

آلیاژ از اهمیت زیادی برخوردار است که این امر از طریق انحلال و رسوب مجدد این فاز با عملیات حرارتی حاصل می‌شود [10]. با وقوع ریزجدایش‌ها پس از انجام، محدوده‌ای از ترکیبات مختلف که از طریق دیاگرام فازی مربوط به سوپرآلیاژ پیش‌بینی‌پذیر است، در مناطق مختلف ریزساختار تشکیل می‌شود. این ریزجدایش‌ها اثر منفی بر اندازه و توزیع رسوبات دارد، بنابراین برای رفع آن‌ها می‌باید از عملیات حرارتی موسوم به عملیات حرارتی همگن‌سازی یا انحلال کامل استفاده کرد [9]. عملیات حرارتی انحلال کامل معمولاً در پژوهش‌های مختلف برای بهبود ریزساختارهای مختلف از جمله ریزساختار پره مستعمل نیز صورت می‌گیرد؛ بنابراین اطلاع از رفتار انحلالی رسوب‌های فاز γ' می‌تواند برای بهبود این نوع از عملیات‌های حرارتی که نیاز به انحلال کامل دارند نیز بسیار مؤثر باشد.

در تحقیقات انجام‌شده در زمینه بررسی تأثیر دما و زمان در سیکل‌های مختلف عملیات حرارتی بر ریزساختار سوپرآلیاژها می‌توان به تحقیقات بالیکی (Baliki) و همکاران او [11] بر ریزساختار سوپرآلیاژ IN738LC اشاره کرد. نتایج این تحقیق نشان داد که دستیابی به ساختار همگن و رفع ریزجدایش‌ها می‌تواند تحت عملیات حرارتی $1235^\circ\text{C}/4\text{h}$ حاصل شود. همچنین مناجاتی و همکارانش [12] در تحقیقات خود بر سوپرآلیاژ U720، دمای انحلال کامل رسوب‌های γ' را 1150°C را به‌دست آورده‌اند. مقالاتی که به صورت مستقیم عملیات حرارتی سوپرآلیاژ GTD-111 را بررسی کرده‌اند، اندک است. ونگ (Wang) و همکارانش [13] دماها و زمان‌های مختلف عملیات حرارتی را برای نمونه GTD-111 که در ابتدا تحت عملیات حرارتی استاندارد قرار گرفته است، بررسی کردند. آن‌ها دما و زمان‌های $1225^\circ\text{C}/6\text{h}$ و $1250^\circ\text{C}/2\text{h}$ را برای انحلال کامل γ' با این شرایط اولیه گزارش کردند. ترکسلر (Trexler) و همکارانش [14] نیز نشان دادند که در سوپرآلیاژ GTD-111، عملیات حرارتی در دمای 1200°C ، منجر به انحلال کامل رسوب‌های γ' شده و ریزساختار همگن می‌شود. سجادی و همکارانش نیز به بررسی دما و زمان پیرسازی و

سرعت سرد شدن بر ساختار نهایی این آلیاژ پرداخته‌اند [4].
باتوجه به ریختگی بودن آلیاژ GTD-111 و وجود ساختاری شدیداً دندریتی که موجب یکنواخت نشدن ترکیب شیمیایی مغز دندریت و بین دندریت می‌شود، هدف این مقاله نیز تعیین دما و زمان مطلوب انحلال کامل γ' اولیه در سوپرآلیاژ پلی کریستال ریختگی GTD-111 با تمرکز به رفتار انحلال رسوب‌های γ' اولیه در مغز دندریت و بین دندریت است که داده‌های مؤثری را برای همگن‌سازی این سوپرآلیاژ ارائه خواهد کرد.

مواد و روش تحقیق

نمونه‌های آزمایشگاهی به‌کار گرفته شده در این تحقیق از یک شمش ریخته‌گری شده از جنس سوپرآلیاژ پایه نیکل GTD-111 تهیه شد. این شمش در خلأ با استفاده از کوره ذوب القایی (VIM) ذوب و ریخته‌گری شده است. از شمش یادشده بعد از ریختگی، بدون انجام هرگونه عملیاتی، مستقیماً برای انجام عملیات حرارتی انحلالی استفاده شد و نمونه‌های مورد نیاز با ابعاد تقریباً یکسان (۱۵×۱۰×۵ میلی‌متر) با استفاده از دستگاه وایرکات جدا شد. ترکیب شیمیایی شمش ریختگی GTD-111 با استفاده از دستگاه کوانتومتر آزموده شد. ترکیب شیمیایی سوپرآلیاژ استفاده شده در این تحقیق در جدول ۱ آورده شده است.

جدول ۱ ترکیب شیمیایی سوپرآلیاژ GTD-111 (درصد وزنی)

عنصر آلیاژی	درصد	عنصر آلیاژی	درصد
Cr	۱۳/۵	Al	۳/۲
Co	۹/۹	Ti	۴/۸
Mo	۱/۳	Ta	۲/۹
W	۱/۵	C	۰/۱
Ni	باقی	B	۰/۰۱

برای تعیین دمای شروع و پایان انحلال رسوب γ' در نمونه ریختگی سوپرآلیاژ GTD-111، آزمون آنالیز حرارتی هم‌زمان (STA) با استفاده از دستگاه Bahr آلمان مدل STA504 از دمای محیط تا دمای 1300°C با سرعت

جدول ۲ سیکل‌های عملیات حرارتی اعمال شده بر سوپرآلیاژ GTD-111

محیط سردکننده	زمان انحلال (دقیقه)	دمای انحلال ($^{\circ}\text{C}$)
AC	۲۴۰ ۱۸۰ ۱۲۰ ۶۰	۱۱۰۰
AC	۲۴۰ ۱۸۰ ۱۲۰ ۶۰	۱۱۲۰
AC	۲۴۰ ۱۸۰ ۱۲۰ ۶۰	۱۱۵۰
AC	۲۴۰ ۱۸۰ ۱۲۰ ۶۰	۱۱۸۰
AC	۲۴۰ ۱۸۰ ۱۲۰ ۶۰	۱۲۰۰
AC	- - - ۴۰	۱۲۳۰

نمونه‌ها پس از حکاکی، با استفاده از میکروسکوپ الکترونی روبشی (SEM) به نام تجاری VEGA TESCAN و میکروسکوپ الکترونی روبشی گسیل میدانی (FESEM) به نام MIRA3 TESCAN بررسی شدند. همچنین برای اندازه‌گیری کسر حجمی، دانسیته و اندازه رسوبات γ' از نرم‌افزار آنالیز تصویر کلمکس (Clemex) استفاده شد.

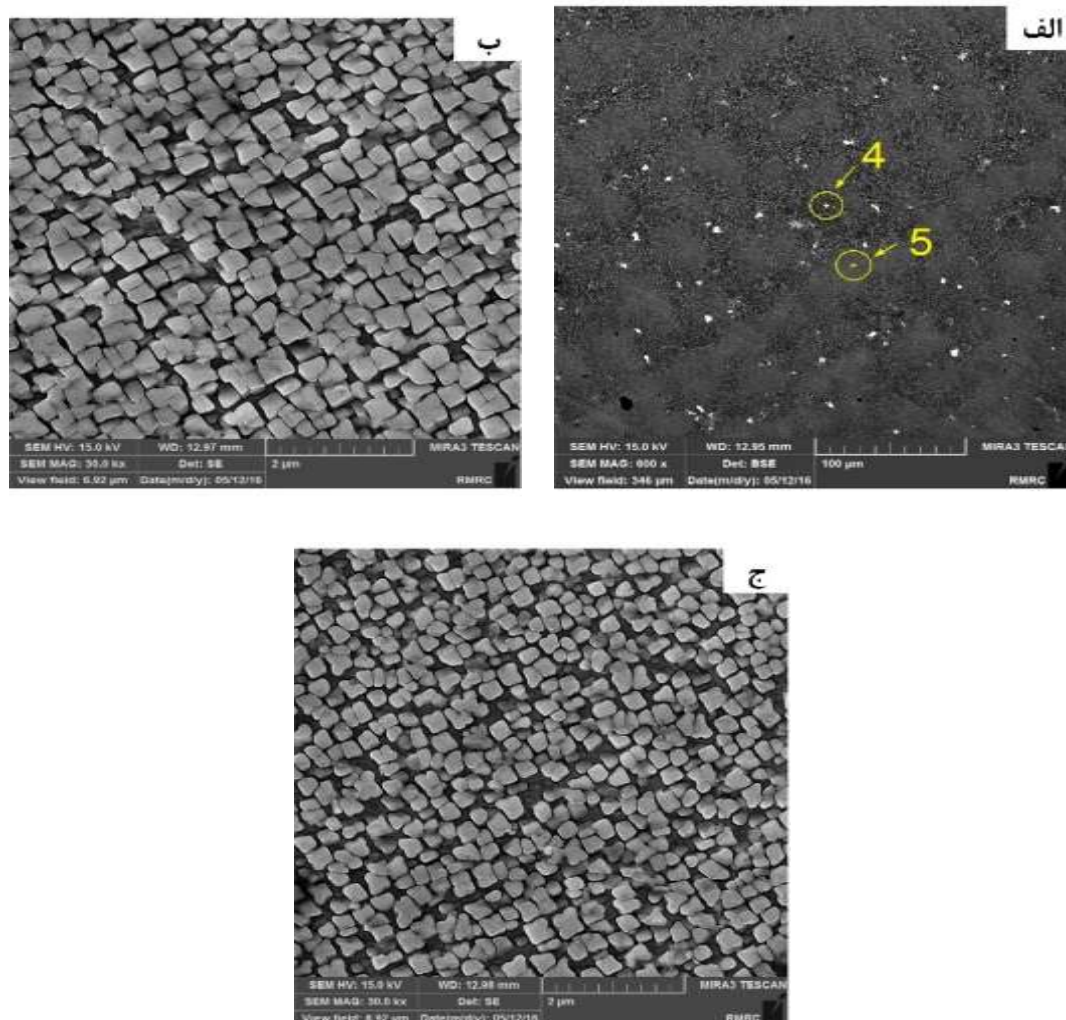
برای بررسی تغییرات سختی نمونه‌های عملیات حرارتی شده، آزمایش‌های سختی سنجی به روش ویکرز و در مقیاس میکرو با نیروی ۵۰ گرم و مدت بارگذاری ۱۰ ثانیه انجام شد.

نتایج و بحث

ریزساختار اولیه سوپرآلیاژ ریختگی GTD_111

ریزساختار اولیه سوپرآلیاژ ریختگی GTD-111 به شدت غیریکنواخت و متشکل از الگوهای جدایش دندریتی بود و جدایش‌های مغزه‌ای زیادی نیز در آن وجود داشت. اندازه میانگین رسوب‌های γ' در نواحی بین دندریت درشت‌تر از رسوب‌های نواحی مغزدندریت بود. شکل ۱ تصویر میکروسکوپ الکترونی FESEM ریزساختار آلیاژ ریختگی استفاده‌شده را نشان می‌دهد. در شکل ۱- الف ناحیه بین دندریت با شماره ۴ و ناحیه مغزدندریت با شماره ۵

مشخص شده است. در این شکل همچنین رسوبات سفیدرنگی دیده می‌شود که کاربرد است و باتوجه به مرفولوژی آن‌ها و این‌که نمونه ریختگی است، از نوع کاربرد MC است. شکل ۱-ب رسوبات ناحیه بین دندریت و شکل ۱-ج رسوبات ناحیه مغزدندریت با بزرگ‌نمایی بیشتر را نشان می‌دهد. در نمونه آلیاژ ریختگی اندازه رسوب‌های γ' اولیه در نواحی بین دندریت ۵۲۱ نانومتر و دانسیته آن ۵/۹ رسوب در یک میکرومتر مربع از سطح (μm^2 /رسوب) و در نواحی مغزدندریت اندازه ۳۶۴ نانومتر و دانسیته (μm^2 /رسوب) ۶/۳ محاسبه شدند.



شکل ۱ تصویر FESEM از ریزساختار اولیه سوپرآلیاژ ریختگی GTD-111. (الف) ساختار دندریتی، (ب) رسوبات γ' ناحیه بین دندریت مشخص شده با شماره ۴ و (ج) رسوبات γ' ناحیه مغزدندریت با شماره ۵ مشخص شده است

۳۸۹nm افزایش و دانسیته آن‌ها به $(\mu\text{m}^2/\text{رسوب})$ ۳ در مقایسه با نمونه اولیه کاهش یافته است. به‌طورکلی در عملیات حرارتی $1100^\circ\text{C}/2\text{h}/\text{AC}$ تغییر مورفولوژی رسوب‌های γ' در هر دو ناحیه مغزندریت و بین دندریت به‌صورت مکعبی و در حال درشت و نامنظم شدن است و در برخی نواحی در یک راستا مرتب شده‌اند. همچنین کاهش دانسیته رسوب‌های γ' نیز در این شرایط مشاهده می‌شود. افزایش فاصله بین رسوب‌های γ' یا همان افزایش نواحی انحلال یافته γ' را می‌توان ناشی از بالاتر بودن این دما از دمای شروع انحلال γ' دانست. همچنین به دلیل پایین بودن دما از دمای انحلال کامل رسوب‌های γ' ، رسوب‌های باقی‌مانده به‌طور جزئی انحلال یافته‌اند [13].

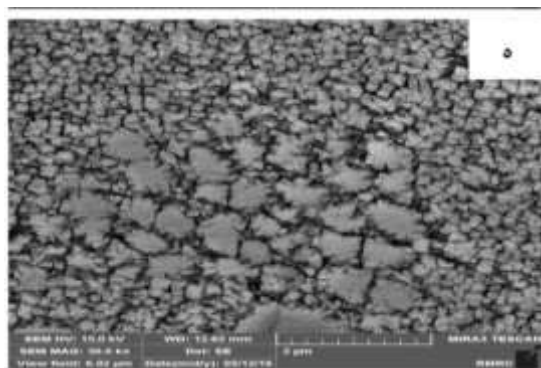
همان‌طور که در شکل‌های ۲ و ۳ ملاحظه می‌شود، با افزایش پیوسته دمای انحلال، نواحی انحلال یافته γ' ‌های اولیه در بین دندریت و مغزندریت افزایش یافته است. در شکل ۲-ب و ۳-ب با افزایش دمای انحلال تا $1120^\circ\text{C}/2\text{h}/\text{AC}$ به ترتیب در ناحیه بین دندریت و مغزندریت آگلومره شدن رسوب‌های γ' و در نتیجه تغییر مورفولوژی این رسوب‌ها از مکعبی به بیضی مشاهده می‌شود. فاصله بین رسوب‌های γ' بیشتر می‌شود و این ناشی از بالاتر بودن دما از دمای شروع انحلال γ' است. در نتیجه حل شدن رسوب‌های کوچک‌تر، غلظت اتم‌های حل‌شونده نیز در زمینه افزایش می‌یابد. پس از عملیات $1120^\circ\text{C}/2\text{h}/\text{AC}$ اندازه متوسط قطر رسوب‌های γ' باقی‌مانده در ناحیه مغزندریت 395nm نسبت به نمونه اولیه ریختگی درشت‌تر شده و دانسیته این رسوب‌های γ' به $(\mu\text{m}^2/\text{رسوب})$ ۳ کاهش یافته است. در این شرایط نیز درشت شدن رسوب γ' دیده می‌شود، اما کاهش دانسیته رسوب‌های γ' باقی‌مانده حاکی از انحلال در مغزندریت است. رسوب‌های γ' در ناحیه بین دندریت تا اندازه 589nm درشت‌تر شده و دانسیته آن‌ها نسبت به نمونه اولیه تا $(\mu\text{m}^2/\text{رسوب})$ ۲/۷ کاهش یافته است. بدین ترتیب درشت شدن رسوب‌های γ' در ناحیه بین دندریت نیز مشاهده می‌شود.

بررسی تأثیر دما و زمان انحلال بر رفتار رسوب γ'

ریزساختار اولیه سوپرآلیاژ ریختگی، ساختاری دندریتی است، رسوبات γ' اولیه در حین انجماد ایجاد شده و تحت تأثیر نحوه سرمایش از مذاب است. γ' در ساختار ریختگی به دلیل انجماد غیرتعادلی، مورفولوژی و کسر حجمی مطلوب را ندارد [15]. از این رو تأثیر افزایش دمای انحلال بر رفتار رسوب‌های γ' ، تغییرات اندازه رسوب‌های γ' ، تغییر مورفولوژی و دانسیته آن‌ها در نواحی مغزندریت و بین دندریت بررسی شدند. تصاویر میکروسکوپ الکترونی روبشی از نمونه‌های تحت عملیات حرارتی در دماهای مختلف و زمان ثابت ۲ ساعت از نواحی بین دندریت و مغزندریت به ترتیب در شکل‌های ۲ و ۳ نشان داده شده‌اند. تمام نمونه‌ها پس از عملیات حرارتی در هوا سرد شدند. رسوب‌های γ' اولیه پس از عملیات حرارتی با اندازه، مورفولوژی و توزیع متفاوت نسبت به حالت اولیه در ساختار مشاهده شده است که به آن‌ها رسوب‌های γ' باقی‌مانده گفته می‌شود [16].

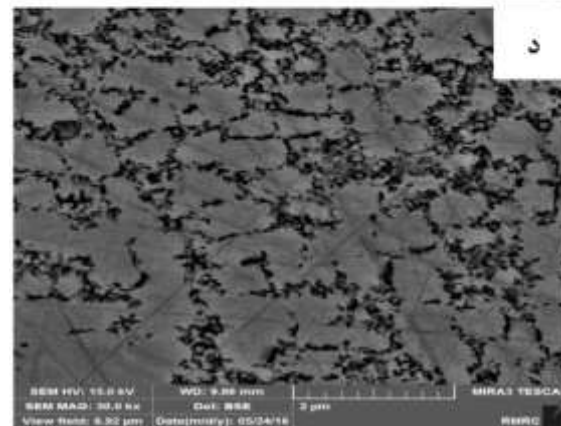
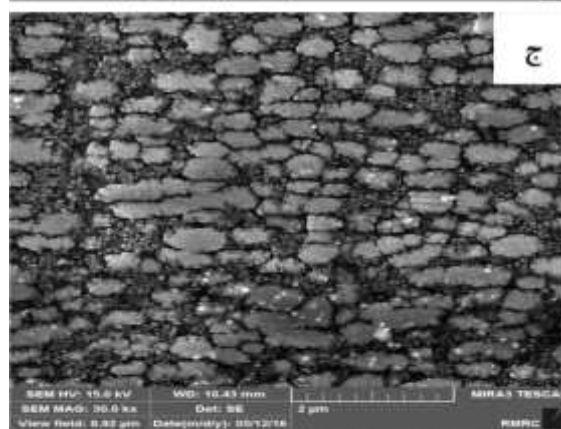
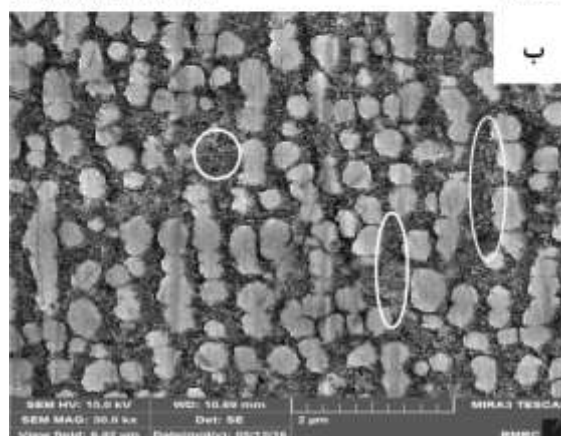
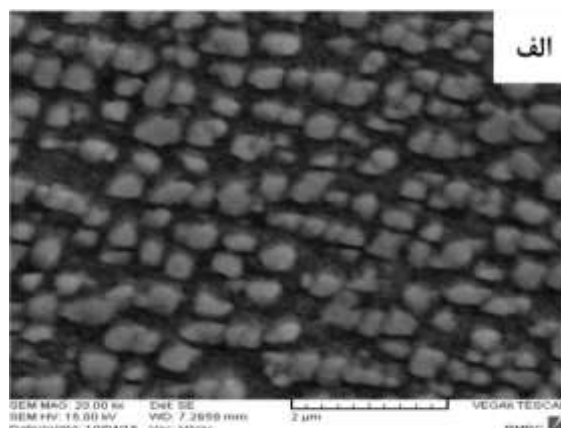
در ریزساختار شکل ۲-الف مورفولوژی رسوب‌های γ' ناحیه بین دندریتی نمونه پس از عملیات حرارتی $1100^\circ\text{C}/2\text{h}/\text{AC}$ دیده می‌شود. رسوب‌های γ' باقی‌مانده در نواحی بین دندریت نسبت به نمونه اولیه درشت شده‌اند. در این تصویر دیده می‌شود که رسوب‌های γ' باقی‌مانده، در یک امتداد منظم شده‌اند، این رسوب‌ها مورفولوژی مکعبی بی‌نظم به خود می‌گیرند. متوسط اندازه رسوب‌های γ' باقی‌مانده در ناحیه بین دندریت نسبت به نمونه اولیه ریختگی تا 539nm افزایش، و دانسیته آن‌ها نیز به $(\mu\text{m}^2/\text{رسوب})$ ۳ کاهش می‌یابد. با توجه به افزایش اندازه رسوب‌های γ' و کاهش دانسیته آن‌ها، رفتار درشت شدن و انحلال رسوب‌ها در ناحیه بین دندریت اتفاق می‌افتد.

رسوب‌های γ' باقی‌مانده در ناحیه مغزندریت نیز شروع به درشت شدن می‌کنند و مورفولوژی آن‌ها مانند رسوب‌های بین دندریتی به مکعبی بی‌نظم تغییر می‌کند. از شکل ۳-الف و داده‌های اندازه‌گیری شده می‌توان دریافت که متوسط اندازه رسوب‌های γ' باقی‌مانده در مغزندریت تا

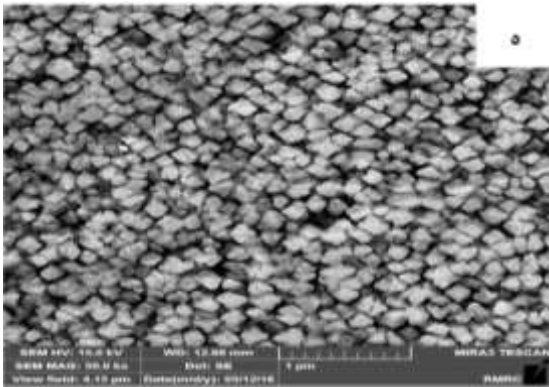


شکل ۲ تصویر میکروسکوپ الکترونی رسوبات γ' در بین دندریت پس از عملیات حرارتی در زمان ۲ ساعت در دماهای: (الف) 1100°C ، (ب) 1120°C ، (ج) 1150°C ، (د) 1180°C و (ه) 1200°C

در شکل های ۲-ب و ۳-ب رسوبات بسیار ریز γ' نانومتری در اطراف رسوبات γ' باقی مانده مشاهده می شوند. در طی حرارت دهی و انحلال رسوبات γ' ، عناصر آلیاژی حل شده وارد زمینه می شوند. هرچه دمای انحلال بیشتر باشد، عناصر آلیاژی حل شده در زمینه بیشتر و غلظت جاهای خالی اتم در زمینه بیشتر و امکان جوانه زنی رسوبات جدید بیشتر می شود. با سرد شدن در هوا امکان جوانه زنی رسوبات γ' بیشتر از رشد آن ها می شود، بنابراین رسوبات γ' ریزکروی تشکیل می شوند [17,18]. همان طور که محققان دیگر نیز به این نکته اشاره کرده اند، تعداد جاهای خالی می تواند در سینتیک نفوذ مؤثر باشد و آن را افزایش دهد؛ از طرفی برای تشکیل یک جوانه رسوب مثل رسوب γ' لازم است عناصر آلیاژی مربوطه با نفوذ کنار هم قرار گیرند. همچنین جاهای خالی باعث افزایش انرژی می شود، بنابراین افزایش تعداد جاهای خالی بر تشکیل و رشد رسوبات مؤثر است [17,18]. انحلال جزئی رسوبات γ' اولیه در دماهای کمتر از دمای انحلال کامل باعث ورود حجم زیادی از عناصر به زمینه و فوق اشباع شدن آن نمی شود، از این رو رسوبات γ' امکان رسوب در اندازه بزرگ تر را در حین سرد شدن ندارند و به صورت رسوبات γ' بسیار ریز نانومتری تشکیل می شوند. رسوبات γ' کروی ریز نانومتری، رسوبات تشکیل شده در حین سرد شدن (Cooling Precipitation) نامیده می شوند [16]. دور این رسوبات در شکل های ۲-ب

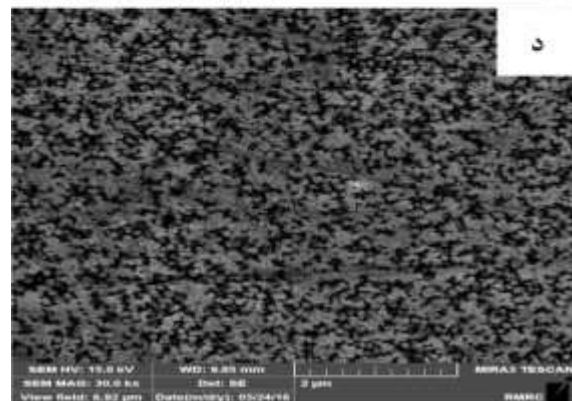
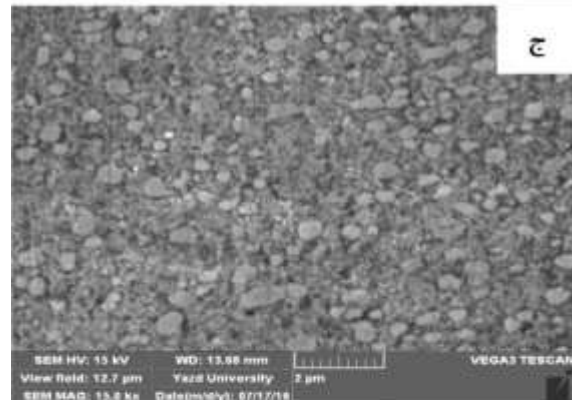
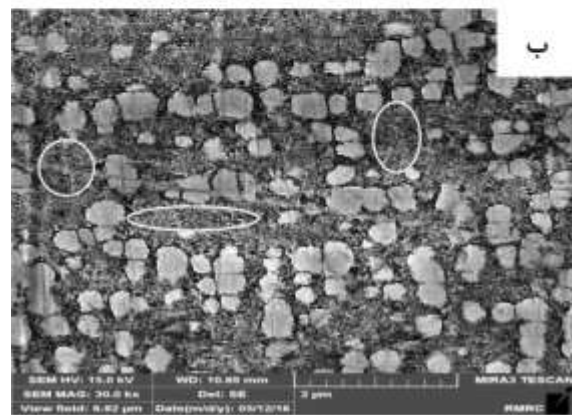
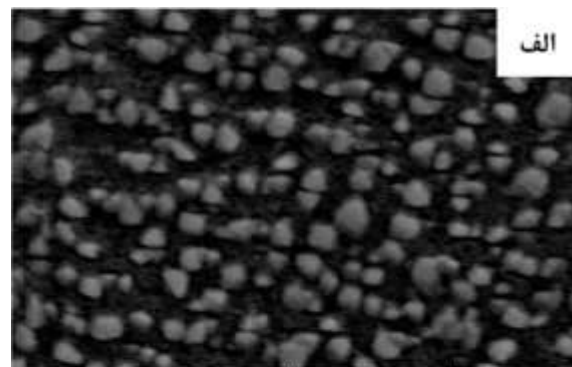


و ۳- ب خط سفید رنگ کشیده شده است.



شکل ۳ تصویر میکروسکوپ الکترونی رسوب‌های γ' در مغزندریت پس از عملیات حرارتی در زمان ۲ ساعت در دماهای: (الف) 1100°C ، (ب) 1120°C ، (ج) 1150°C ، (د) 1180°C و (ه) 1200°C

در شکل‌های ۲-ج و ۳-ج ریزساختار پس از عملیات $1150^\circ\text{C}/2\text{h}/\text{AC}$ نشان داده شده است. بعد از افزایش دما تا دمای 1150°C ، رسوب‌های γ' باقی‌مانده در ناحیه مغزندریت با مورفولوژی کروی تا 450nm نسبت به نمونه ریختگی و نمونه‌های قرارگرفته در دماهای کمتر، درشت شده‌اند. همچنین فاصله بین رسوب‌های γ' باقی‌مانده افزایش یافته است. دانسیته رسوب‌های γ' باقی‌مانده به $(\mu\text{m}^2/\text{رسوب})$ ۲ کاهش یافته است که بیانگر حاکم‌بودن رفتار انحلال رسوب‌های γ' در مغزندریت است. مطابق شکل ۲-ج، در نواحی بین دندریت، رسوب‌های γ' دارای مورفولوژی گل‌مانند (Flower-Like Morphology) هستند. در حین عملیات انحلال در دماهای کمتر از دمای انحلال کامل، برخی رسوب‌ها کامل و برخی به‌طور جزئی حل می‌شوند و از مورفولوژی مکعبی به مورفولوژی پیچیده تغییر می‌کنند. همان‌طور که در حین سرد شدن، دما از دمای کمتر از انحلال کامل کاهش می‌یابد، رسوب‌های γ' کاملاً حل نمی‌شوند ولی غلظت عناصر حل‌شده در زمینه بیشتر می‌شود و از طریق مکانیزم نفوذ جریان جرم (Diffusion Mass Flow Mechanism) رسوب‌ها شروع به رشد می‌کنند. مورفولوژی گل‌مانند در اثر جوانه‌زنی رسوب‌های γ' تشکیل شده در حین سرد شدن بر روی سطح رسوب‌های γ' باقی‌مانده شکل می‌گیرد. به‌طوری‌که سطح رسوب‌های γ' باقی‌مانده پوشیده



زمینه حل شده‌اند و به واسطه افزایش فوق‌اشباعیت زمینه، رسوبات γ' تشکیل شده در حین سرد شدن نسبت به رسوبات γ' تشکیل شده در نمونه $1180^{\circ}\text{C}/2\text{h}/\text{AC}$ بزرگ‌تر شده و مورفولوژی شبه‌کروی به خود گرفته است، اما در نواحی بین دندریت اندازه رسوبات γ' باقی‌مانده تا 675nm کوچک شده و دانسیته آن‌ها نیز به $(\mu\text{m}^2/\text{رسوب})$ ۱ کاهش یافته است. در نتیجه می‌توان گفت که انحلال رسوبات در نواحی بین دندریت نیز حاکم بوده است. با افزایش دمای انحلال، رسوبات γ' باقی‌مانده بین دندریتی به علت جدایش عناصر آلیاژی و تغییر در الگوی انجمادی درشت‌تر و خشن‌تر می‌شوند.

شکل ۴-الف ریزساختار سوپرآلیاژ GTD-111 پس از عملیات حرارتی $1200^{\circ}\text{C}/4\text{h}/\text{AC}$ را نشان می‌دهد. در این شکل حضور فاز γ' باقی‌مانده نشانه ناتوانایی انحلال کامل γ' اولیه در دمای 1200°C است. همان‌طور که مطالعات ناطق و صفری [20] بر روی Rene80 نشان می‌دهد، دمای 1204°C رسوبات مکعبی ریختگی کاملاً حل نشده‌اند. تحقیق رحیمی و همکارانش [21] نیز بر روی IN100 نشان داد که دمای 1210°C توانایی انحلال کامل γ' های ریختگی را ندارد. علت حل نشدن کامل در نواحی بین دندریت، درحالی‌که رسوبات مغز دندریت حل شده‌اند، می‌تواند نخست به علت ریز تر بودن رسوبات γ' اولیه در مغز دندریت و سپس به دلیل اختلاف در ترکیب شیمیایی زمینه در مغز دندریت و بین دندریت به علت مغزهای شدن باشد. بنابراین برای انحلال کامل تر، نمونه‌ها در دمای بالاتر (دمای 1230°C) به مدت ۴۰ دقیقه قرار گرفتند تا همگن‌سازی آلیاژ از لحاظ دستیابی به میزان بالاتر انحلال فازهای γ' اولیه و یوتکتیک حاصل شود. نتایج این عملیات در شکل ۴-ب نشان‌دهنده این است که پس از اعمال عملیات حرارتی $1230^{\circ}\text{C}/40\text{min}/\text{AC}$ ، آلیاژ ساختار یکنواخت درخورتوجه‌تری نسبت به سیکل‌های قبلی حاصل کرده است. همچنین با توجه به تصویر شکل ۴-ب مشخص شد که ذرات γ' اولیه کاملاً در زمینه حل شده و تعداد و اندازه فازهای یوتکتیک نیز در این شرایط به دلیل انحلال بیشتر در این دما تا حد زیادی کاهش یافته‌اند.

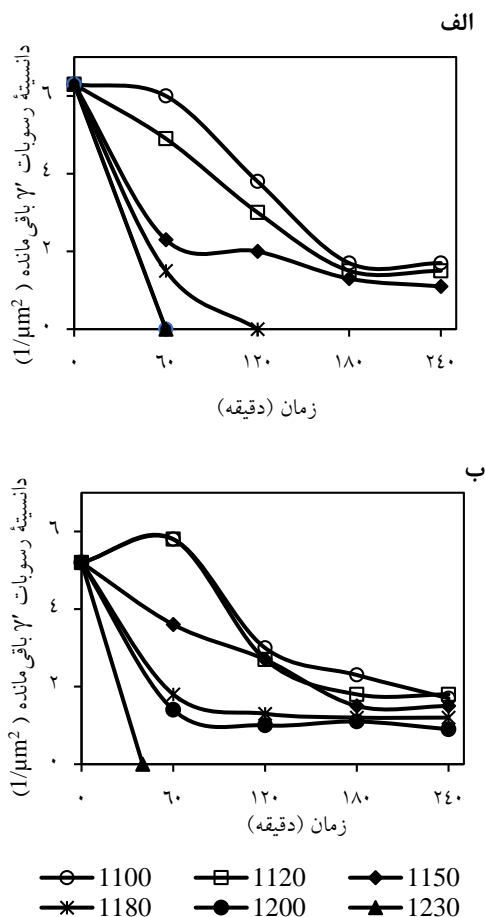
از جوانه‌های جدید می‌شود [13,19]. محاسبات کمی در این دما نشان می‌دهد که در نواحی بین دندریت، اندازه رسوبات γ' باقی‌مانده 612nm و دانسیته $(\mu\text{m}^2/\text{رسوب})$ ۲/۷ است که این موضوع حاکی از درشت شدن رسوبات γ' باقی‌مانده در این شرایط است.

بعد از عملیات حرارتی $1180^{\circ}\text{C}/2\text{h}/\text{AC}$ رسوبات γ' اولیه در نواحی مغز دندریت به طور کامل حل شده‌اند و فقط رسوبات γ' تشکیل شده در حین سرد شدن در ریزساختار این نواحی حضور دارند. انحلال کامل رسوبات γ' اولیه در نواحی مغز دندریت در این دما در شکل ۳-د نشان داده شده است، اما در ناحیه بین دندریت رسوبات γ' باقی‌مانده با بیشترین اندازه، 898nm ، نسبت به نمونه اولیه و نمونه‌های قرار گرفته در عملیات انحلال در دماهای پایین‌تر و با دانسیته $(\mu\text{m}^2/\text{رسوب})$ ۱/۳ هنوز حضور دارند. دمای $1180^{\circ}\text{C}/2\text{h}/\text{AC}$ توانایی انحلال کامل رسوبات γ' اولیه در ناحیه بین دندریت را ندارد. با توجه به اینکه در حین انجماد پدیده مغزهای شدن اتفاق می‌افتد، بدیهی است که ترکیب شیمیایی در مغز دندریت و نواحی بین دندریت متفاوت باشد. این تفاوت در ترکیب شیمیایی این ۲ موضع می‌تواند بر حلالیت رسوبات مؤثر باشد، بنابراین موجب تسریع در انحلال رسوبات مغز دندریت نسبت به رسوبات بین دندریت شود.

با وجود افزایش اندازه رسوبات γ' در نواحی بین دندریت پس از عملیات انحلال در دمای 1180°C ، کاهش دانسیته رسوبات γ' نیز ملاحظه می‌شود. با توجه به این کاهش چشمگیر دانسیته رسوبات γ' باقی‌مانده، رفتار انحلال بر رسوبات γ' در ناحیه بین دندریت حاکم است. انحلال γ' ، پیوسته موجب افزایش فوق‌اشباعیت زمینه و کاهش میدان کرنش الاستیک می‌شود [13]. در نتیجه رسوب‌گذاری و جوانه‌زنی رسوبات جدید با مورفولوژی کروی زیاد است.

شکل‌های ۲-ه و ۳-ه ریزساختار نمونه پس از عملیات در دمای 1200°C را نشان می‌دهند. در عملیات $1200^{\circ}\text{C}/2\text{h}/\text{AC}$ در مغز دندریت رسوبات γ' کاملاً در

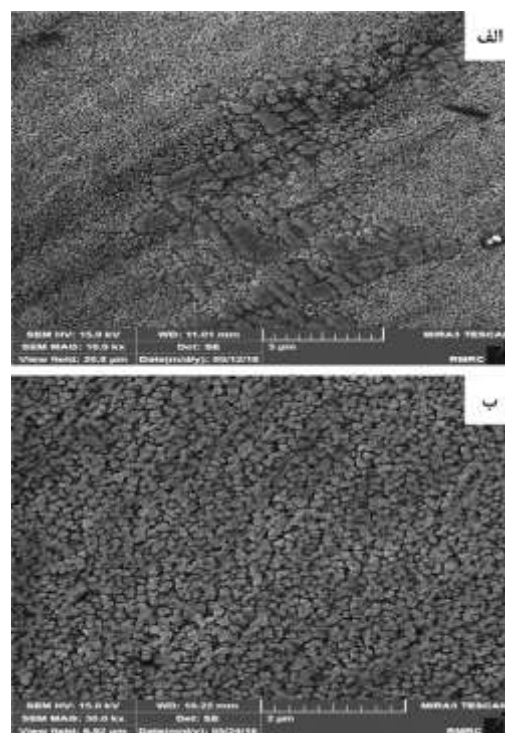
باقی مانده در دمای 1180°C بعد از ۲ ساعت به صفر می‌رسد. همان‌طور که در شکل ۵-ب مشاهده می‌شود، در نواحی بین دندریت نیز رسوبات روند کاهش تعداد در سطح $1\mu\text{m}^2$ را نشان می‌دهند.



شکل ۵ تغییرات دانسیته رسوبات γ اولیه برحسب زمان: (الف) مغز دندریت، (ب) بین دندریت

شکل ۵ نشان می‌دهد تا ۳ ساعت دانسیته رسوبات γ باقی مانده به کمترین مقدار می‌رسد و بعد از آن ثابت می‌ماند. می‌توان دریافت که سرعت انحلال رسوبات γ اولیه در زمینه تا ۳ ساعت سریع بوده است و رسوبات بیشتری در زمینه حل شده‌اند و پس از ۳ ساعت انحلال رسوبات ثابت می‌ماند. در واقع فرایند انحلال رسوبات، تعادل ترمودینامیکی بین انحلال و رسوب‌گذاری است که در یک سمت این تعادل، انحلال رسوبات γ اولیه کوچک رخ می‌دهد و در

باتوجه به اینکه در زمان‌های ۴ ساعت نیز روند انحلال رسوبات مثل ۲ ساعت بوده است، تصاویر زمان‌های بیش از ۲ ساعت در دماهای کمتر از 1200°C حذف شده‌اند. البته برای دمای 1200°C به مدت ۴ ساعت نتایج آورده شده است که باز بیانگر حل نشدن کامل بود. در دماهای بالاتر از 1200°C نیز فقط آزمایش در دمای 1230°C و در زمان‌های ۴ دقیقه و ۶۰ دقیقه در عملیات حرارتی قرار گرفت و بعد از بررسی تصاویر FESEM نتایج نشان داد که در دمای 1230°C و زمان ۴۰ دقیقه رسوب γ اولیه‌ای در ساختار مشاهده نشده است؛ از این رو که دما و زمان بهینه مدنظر بوده است، زمان ۴۰ دقیقه به‌عنوان زمان مطلوب پیشنهاد می‌شود.



شکل ۴ تصویر FESEM (الف) نمونه بعد از $1200^{\circ}\text{C}/4\text{h}$ ، (ب) $1230^{\circ}\text{C}/40\text{ min}$

شکل ۵ نمودار تغییرات دانسیته ذرات در سطح واحد $1\mu\text{m}^2$ برحسب زمان (دقیقه) در دماهای عملیات حرارتی مختلف را نشان می‌دهد. ملاحظه می‌شود که مقدار ذرات γ باقی مانده در سطح واحد $1\mu\text{m}^2$ با افزایش زمان کاهش می‌یابد. مطابق شکل ۵-الف، در مغز دندریت تعداد ذرات γ

بررسی تأثیر دما و زمان انحلال بر میکروسختی

رسوب‌های γ' مهم‌ترین عامل استحکام‌بخش زمینه γ هستند. استحکام حاصل از رسوب‌های γ' به اندازه، کسر وزنی، مورفولوژی و توزیع آن‌ها بستگی دارد [۲۲]. رسوب‌های مکعبی γ' با توزیع یکنواخت در زمینه γ باعث افزایش استحکام زمینه می‌شوند. اصولاً ۲ مکانیزم عمده در برخورد نابجایی‌ها به رسوب‌های γ' حاکم است:

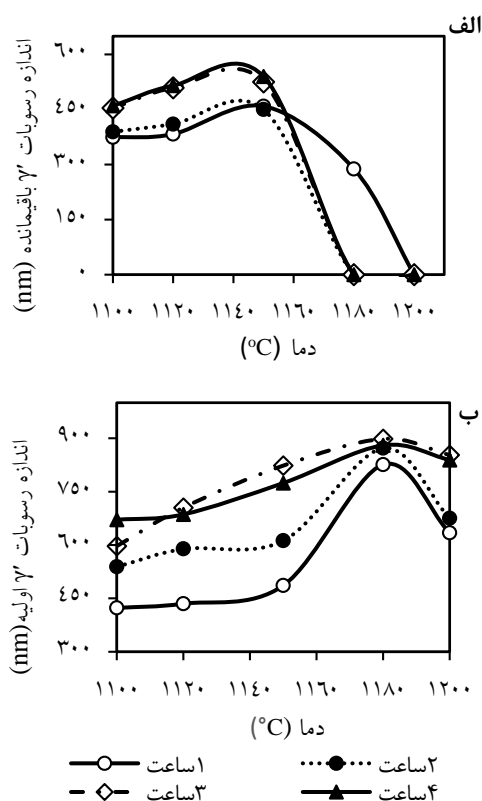
۱. مکانیزم برش ذرات γ' در زمان عبور نابجایی از آن‌ها؛

۲. مکانیزم دورزدن ذرات γ' در برخورد نابجایی با آن‌ها.

وقتی رسوب‌ها مورفولوژی مکعبی دارند، بین رسوب و زمینه ناهم‌سیمایی کمی وجود دارد. برخورد نابجایی با آن‌ها همراه با برش رسوب‌ها است. از آنجایی که برش رسوب‌ها به انرژی بیشتری نسبت به دورزدن و مکانیزم حلقه نیاز دارد، استحکام نمونه بیشتر می‌شود. بررسی تأثیر دما بر تغییر مورفولوژی رسوب‌ها نشان داد که با افزایش دمای عملیات انحلال، مورفولوژی آن‌ها به مکعبی بی‌نظم و بیضی تغییر کرد. بنابراین انتظار می‌رود با افزایش دما میکروسختی در نواحی مغزندرت و بین دندرت کاهش یابد.

شکل ۷ تغییرات سختی ویکرز در مقیاس میکرو در نواحی مغزندرت و بین دندرت را نشان می‌دهد. میکروسختی در نواحی مغزندرت و بین دندرتی از نواحی تجمع رسوب‌های γ' گرفته شده است. همان‌طور که در شکل ۷ دیده می‌شود، تغییرات سختی متناسب با افزایش دما تغییر نمی‌کند. بیشترین سختی در دمای 1200°C و کمترین سختی نیز در دمای 1120°C در هر ۲ ناحیه به دست آمده است. همچنین در شکل ۸ نیز کسر حجمی رسوب‌های γ' (باقی‌مانده و تشکیل شده طی سردشدن) در این نواحی مشاهده می‌شود. از بررسی و مقایسه میکروسختی و کسر حجمی رسوب‌های γ' (به ترتیب شکل‌های ۷ و ۸) می‌توان دریافت که انحلال بیشتر رسوب‌های γ' اولیه و در نتیجه افزایش کسر حجمی رسوب‌های تشکیل شده طی سردشدن و کاهش فاصله بین رسوب‌های موجود در زمینه باعث افزایش میکروسختی رسوب‌های γ' می‌شود. دمای 1120°C دمای

سمت دیگر رسوب‌گذاری γ' از طریق مهاجرت و پیوستن عناصر آلیاژی رسوب‌های ریز به γ' اولیه بزرگ قرار گرفته است. این فرایند تا جایی پیش می‌رود که تعادل بین این اجزا در شرایط ترمودینامیکی موجود برقرار می‌شود و پس از آن تقریباً تغییر محسوسی در مقدار این اجزا و اندازه آن‌ها مشاهده نمی‌شود. در شکل ۶ تغییرات اندازه رسوب‌های γ' باقی‌مانده برحسب دما در زمان‌های ثابت در نواحی مغزندرت (شکل ۶-الف) و بین دندرت (شکل ۶-ب) رسم شده است. در نمودار مربوط به داده‌های مغزندرت قابل ملاحظه است که در زمان ثابت با افزایش دما تا 1150°C رسوب‌های γ' باقی‌مانده درشت و پس از آن نیز حل می‌شوند. در عملیات حرارتی $1150^{\circ}\text{C}/2\text{h}/\text{AC}$ نهایت درشت شدن رسوب‌های γ' باقی‌مانده اتفاق می‌افتد. در نواحی بین دندرت نیز تا دمای 1180°C درشت شدن ادامه دارد و پس از آن در 1200°C رسوب‌ها حل می‌شوند.

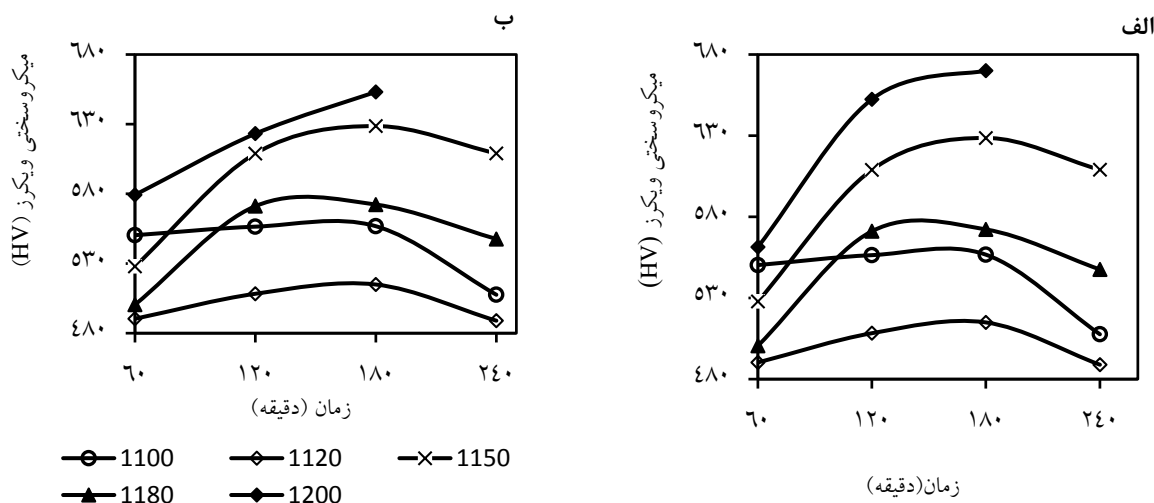


شکل ۶ تغییرات اندازه رسوب‌های γ' اولیه برحسب دما: (الف) مغزندرت، (ب) بین دندرت

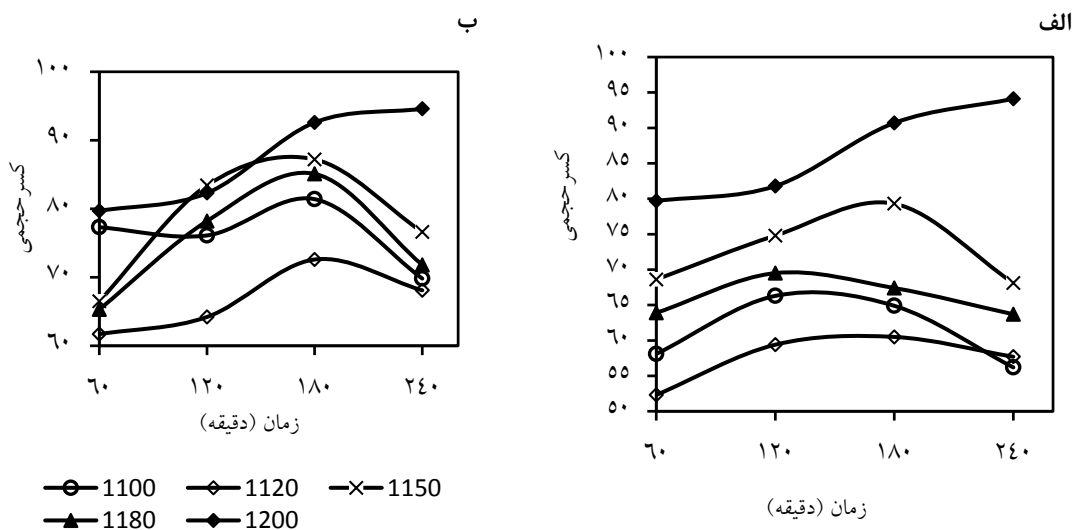
انحلال جزئی رسوب‌های ۷' است و در این دما رسوب‌های اولیه به‌طور جزئی حل می‌شوند. فاصله بین رسوب‌ها نسبت به دمای ۱۱۰°C که رسوب‌ها اندک انحلال یافته‌اند، بیشتر می‌شود و غلظت عناصر حل‌شونده به‌حدی نیست که در زمینه رسوب کنند. در این دما کمترین میکروسختی به‌دست

آمده است.

لازم به‌ذکر است بعد از عملیات ۱۲۰°C/۴h و ۱۲۳۰°C/۴۰min تفکیک ناحیه مغزندریت و بین‌دندریت با میکروسکوپ نوری دستگاه میکروسختی بسیار مشکل است.



شکل ۷ منحنی تغییرات سختی ویکرز در مقیاس میکرو در: (الف) مغزندریت، (ب) بین دندریت



شکل ۸ تغییرات کسر حجمی رسوب‌های ۷' در نواحی: (الف) مغزندریت، (ب) بین دندریت

نتیجه گیری

عملیات حرارتی انحلال در سوپرآلیاژ GTD-111 نشان داد که:

۱. طی عملیات حرارتی انحلال در زمان ثابت با افزایش پیوسته دمای انحلال، مورفولوژی رسوبات γ' اولیه از مکعبی به بی‌نظم و سپس بیضی تغییر می‌کند. با افزایش دما و افزایش نفوذ عناصر آلیاژی در زمینه، انحلال رسوبات γ' در زمینه γ بیشتر می‌شود و نیز رسوبات γ' باقی‌مانده در اثر پیوستن رسوبات کوچک‌تر به رسوبات بزرگ‌تر یا جوانه‌زنی رسوبات جدید بر روی سطح رسوبات بزرگ‌تر، اندازه آن‌ها درشت‌تر و تعداد آن‌ها در واحد سطح کمتر می‌شود. همچنین با افزایش دما، رسوبات‌های تشکیل‌شده در حین سرد شدن نیز افزایش می‌یابند.
۲. رسوبات γ' درشت‌تر در بین دندریت در دمای بالاتری

حل می‌شوند.

۳. انحلال کامل رسوبات γ' اولیه ریختگی در مغز دندریت در دمای 1180°C و در نواحی بین دندریت در دمای 1230°C رخ می‌دهد.
۴. دما و زمان بهینه و مناسب برای انحلال کامل رسوبات γ' اولیه در سوپرآلیاژ GTD-111 دمای 1230°C به مدت ۴۰ دقیقه و سرد شدن در هواست که سبب محوشدن جدایش‌های دندریتی و انحلال کامل رسوبات γ' اولیه و همگن و یکنواخت شدن رسوبات‌های زمینه شده است.
۵. نتایج میکروسختی نشان داد که میکروسختی متناسب با دما تغییر نمی‌کند، بلکه متناسب با کسر حجمی رسوبات γ' باقی‌مانده و تشکیل‌شده در حین سرد شدن در مغز دندریت و بین دندریت تغییر می‌کند. بیشترین سختی در دمای 1200°C و کمترین در دمای 1120°C به دست آمد.

مراجع

1. Ross, E. W., Sims, C. T., "Nickel Base Superalloys, in Superalloy II", John Wiley & Sons Inc., New York, pp. 97-131, (1987).
2. Zhang, F., et al., "Effect of heat treatment on the microstructural evolution of a nickel-based superalloy additive-manufactured by laser powder bed fusion", *Acta Materialia*, Vol. 152, pp. 200-214, (2018).
3. Reed, R. C., "The Superalloys Fundamentals and Applications", *Cambridge University Press, Cambridge*, pp. 14-28, (2006).
4. Paraschiv, A., Matache, G., and Puscasu, C., "The effect of heat treatment on the homogenization of CMSX-4 Single-Crystal Ni-Based Superalloy", *Transportation Research Procedia*, Vol. 29, pp. 303-311, (2018).
5. Wood, M. I., "Gas turbine hot section components: The challenge of residual life assessment, Proceedings of the Institution of Mechanical Engineers", *Part A: Journal of Power and Energy*, Vol. 214, pp. 193-201, (2000).
6. Sajjadi, S. A., Zebarjad, S. M., Guthrie, R. I. L., Isac, M., "Microstructure evolution of high-performance Ni-base superalloy GTD-111 with heat treatment parameters", *Materials Processing Technology*, Vol. 175, pp. 376-381, (2006).
7. Fan, X., Guo, Z., Wang, X., Yang, J. and Zou, J., "Morphology evolution of γ' precipitates in a powder metallurgy Ni-base superalloy", *Materials Characterization*, Vol. 139, pp.382-389, (2018)

۸. سجادی، س. ع.، باباخانی، ا.، یوسفی ثانی، م. «بررسی ریزساختار پره‌های مستعمل ردیف اول توربین گازی و تعیین سیکل عملیات حرارتی مناسب

- برای بازیابی ساختار اولیه آنها»، نشریه مهندسی متالورژی و مواد، سال ۲۱، شماره ۱، صفحات ۱-۱۰، (۱۳۸۸).
9. Daleo, J. A., Wilson, J. R., "GTD111 alloy material study", *Journal of Engineering for Gas Turbines and Power*, Vol. 120, pp. 375-382, (1998).
 10. Kim, M. T., Chang, S. Y., Won, J. B., "Effect of HIP process on the micro-structural evolution of a nickel-based superalloy", *Materials Science and Engineering: A*, pp. 126-134, (2006).
 11. Balikci, E., Raman, A., Mirshams, R.A., "Influence of various heat treatments on the microstructure of polycrystalline IN738LC", *Metallurgical and Materials Transactions A*, Vol. 28A, pp. 1993-2003, (1997).
 12. Monajati, H., Jahazi, M., Bahrami, R., Yue, S., "The influence of heat treatment conditions on γ' characteristics in Udimet 720", *Metallurgical and Materials Transactions A*, Vol. 373, pp. 286-293, (2004).
 13. Wang, X., Zhou, Y., Zhao, Z., Zhang, Z., "Effects of Solutioning on the Dissolution and Coarsening of γ' Precipitates in a Nickel-Based Superalloy", *Journal of Materials Engineering and Performance*, Vol. 24(4), pp.1492-1504. (2015).
 14. Trexler, M. D., Church, B. C., Sanders, T. H., "Determination of the Ni₃(Ti, Al) dissolution boundary in a directionally solidified superalloy", *Scripta materialia*, Vol. 55, pp. 561-564, (2006).
 15. Heilmaier, M., Leetz, U., Reppich, B., "Order strengthening in the cast nickel-based superalloy IN100 at room temperature", *Materials Science and Engineering A*, Vol. 319-321, pp. 375-378, (2001).
 16. Hosseini, S. S., Nategh, S., Ekrami, A. A., "Microstructural evolution in damaged IN738LC alloy during various steps of rejuvenation heat treatments", *Journal of Alloys and Compounds*, Vol. 512, pp. 340-350, (2012).
۱۷. بهروزقائمی، س.، عبداله‌زاده، ا.، جعفریان، ح.، «اثر سرعت سردکردن بر اندازه، توزیع و مورفولوژی رسوبات γ' در یک سوپرآلیاژ پایه نیکل»، یازدهمین کنگره سالانه انجمن مهندسی متالورژی ایران، (۱۳۸۶).
18. Miura, N., Kondo, Y., Kubushiro, K., Takahashi S., "Change in microstructure at grain boundaries with creep deformation polycrystalline nickel-based superalloy IN100 at 1273°K", *Advanced Materials Research*, Vol. 278, pp. 132-137, (2011).
 19. Behrouzghaemi, S., Mitchell, R. J., "Morphological changes of γ' precipitates in superalloy IN738LC at various cooling rates", *Materials Science and Engineering: A*, Vol. 498, pp. 266-271, (2008).
 20. Safari, J., Nategh, S., "On the heat treatment of Rene80 nickel-base superalloy", *Journal of Materials Processing Technology*, Vol. 176, pp. 240-250, (2006).
۲۱. رحیمی، ا.، میردامادی، ش.، رضوی، ح.، عباسی م.، «تأثیر عملیات حرارتی بر ریزساختار سوپرآلیاژ پایه نیکل ریختگی IN100»، نشریه مهندسی متالورژی و مواد، سال ۲۸، شماره ۱، صفحه ۱-۱۲، (۱۳۹۵).
۲۲. سلیمانی، س.، عبداله‌زاده، ا.، بهروزقائمی، س.، متاله، آ.، صمدی، ا.، «بررسی فرایند انحلال سوپرآلیاژ U500 و میزان حضور رسوبات نانومتری گاماپرایم پس از انجام انحلال»، دهمین کنگره سالانه انجمن متالورژی ایران، (۱۳۸۵).

